

## اختيار نظام حراري كامن متعدد الطبقات في المحطات الشمسية المساعدة

د. بسام بدران\*

### الملخص

درسنا في هذا البحث دراسة تحليلية برمجية لخزان حراري كامن مؤلف من عدة طبقات من مواد متحولة (متغيرة) الطور غير العضوية، يخزن طاقة حرارية بمقدار ( $MW$ ) حراري بالاعتماد على دراسة واقعية في جامعة دمشق لمحطة حرارية شمسية معاونة لدعم محطة دير على الحرارية. تبين من التحليل العددي أن الخزان المناسب اسطواني الشكل أبعاده القطر: (14 m)، والارتفاع (15 m)، ومكون من أربع طبقات، الطبقة الأولى من ( $NaNO_3$ ) بارتفاع (3 m) والطبقة الثانية من ( $KNO_3$ ) بارتفاع (2 m) والطبقة الثالثة من الملح الشمسي ( $MgCl_2 \cdot 6H_2O$ ) بارتفاع (6 m)، والطبقة الرابعة ( $NaNO_3$ ، 60%  $KNO_3$ ، 40%) بارتفاع (m) حيث تم ذوبان الخزان بشكل كامل بعد ست ساعات من التشغيل.

**الكلمات المفتاحية:** نظام التخزين الحراري الكامن، التخزين الحراري، الحرارة الكامنة، المواد المتغيرة الطور، زعانف نحاسية.

## **Selecting Latent Heat Thermal Storage System (LHTES) with Multilayers in Solar Assisted Power Plants**

**Dr. Bassam Badran\***

### **Abstract**

In this research, we have studies a Latent Thermal Heat Storage System (LTHSS) that consist of several layers of Non-Organic Phase change materials (PCMs) to store ( $20 \text{ MW}_{th}$ ) based on actual study for parabolic trough solar concentrator to support Deir Ali Thermal Power Plant at Damascus University. It has been shown numerically that the dimensions of the tank were 14 meter in diameter and 15 meter in height and has four layers, the first one is ( $\text{NaNO}_3$ ) with 3 meters height, the second one is ( $\text{KNO}_3$ ) with 2 meters height, the third one is solar salt (60%  $\text{NaNO}_3$ , 40%  $\text{KNO}_3$ ) with 6 meters height and the fourth is ( $\text{MgCl}_2 \cdot 6\text{H}_2\text{O}$ ) with 4 meters height where all layers melted after 6 hours of operation.

**Keywords:** Latent Heat Thermal Storage System (LHTES), Thermal Storage, Latent Heat, Phase Change Materials, Copper Fins.

---

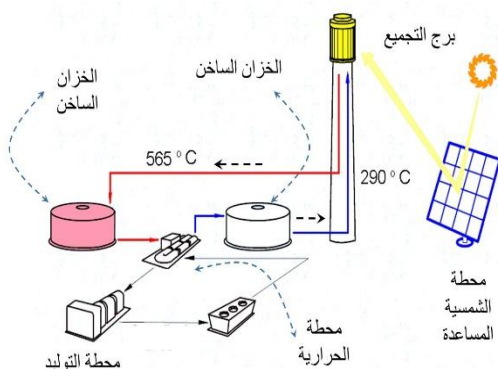
\* Associate Prof, General Mechanical Engineering Depart, Faculty of Mechanical and Electrical Engineering.

## 1- المقدمة.

تعد المحططات الحرارية الشمسية المساعدة إحدى أهم الأدوات التي تقوم على حصاد الطاقة الشمسية النظيفة واستعمالها في توليد الطاقة الكهربائية المباشرة، أو تخزينها ضمن نظم خزانات حرارية Thermal Storage Systems مناسبة لكي تقوم لاحقاً بتوفيرها إلى المحطات الحرارية (الغازية أو البخارية) Power Plants للمحافظة على استقرار التغذية الكهربائية في أوقات الذروة وتخفيف التباين بين الاستهلاك والتوليد [1].

نقسم نظم التخزين الحراري إلى نظم تخزين كيميائي Thermo-chemical Storage، ونظم تخزين كامن Latent Heat Storage، ونظم تخزين محسوس Sensible Heat Storage. يبيّن الجدول (1) أنواع أنظمة التسخين الشمسي (TES)، الوسيط الناقل للحرارة من الحقل (HTF)، المواد التي تخزن الحرارة (Media) ودرجة الحرارة العظمى التي يمكن الحصول عليها ( $T_{max}$ ). من أهم نظم التخزين الحراري المحسوس المستخدمة في المحططات الشمسية القطعية المساعدة Parabolic Trough Power Plants هي نظام التخزين الحراري ذو الخزانين Direct Two Tank Storage بحيث تكون درجة حرارة الخزان الساخن Hot Tank بحدود (°C)، ودرجة حرارة الخزان البارد Cold Tank بحدود (250 °C)، كما في الشكل (1).

الجدول (1) الاستطاعة التخزنية وأبعاد الخزان.



الشكل (1) مخطط لمحطة حرارية ومحطة حرارية شمسية مساعدة.

الجدول (2) الاستطاعة التخزنية وأبعاد الخزان.

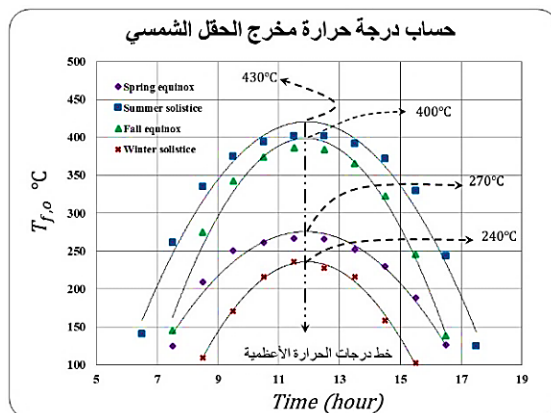
الخزان البارد		الخزان الساخن		الاستطاعة $MWh_t$
القطر $m$	الارتفاع $m$	القطر $m$	الارتفاع $m$	
11.6	7.9	11.6	8.5	105 (3h)
18	12.5	18.9	12.5	588 (16h)

مع تطور زيوت نقل الطاقة الحرارية Synthetic Heat Transfer Oil في المحططات الحرارية الشمسية المساعدة أصبحت نظم التخزين الحراري المحسوس ذات الخزانين غير اقتصادية، وبدأت نظم التخزين الحراري الكامن ذات الطبقات المتعددة من المواد المتغيرة الطور Cascaded Latent Heat Storage (CLHS) وبخزان واحد أكثر قبولاً [3].

قمنا في هذا البحث، بالاعتماد على دراسة معدة في جامعة دمشق [4] لتحديد الشكل الأمثل لتوزيع اللواقط الشمسية القطعية، والاستطاعة العظمى التي يمكن الحصول عليها من هذه المحطة الحرارية، بتحديد:

TES	HTF	MEDIA	$T_{max}$
TWO TANKS DIRECT	BINARY NITRATE SALT	NITRATE SALT	650
TWO TANK INDIRECT	ORGANIC OIL	NITRATE SALT	400
SINGLE TANK THEROMCLINE	BINARY NITRATE SALT	SALT/ QUARTZ ROCK & SALT	650
HOT WATER STORAGE	WATER	WATER	100
CEMENT BLOCK STORAGE	ANY	CONCRETE	400
GRAPHITE BLOCK STORAGE	W/S	HIGH PURITY GRAPHITE	1800
PCM	W/S	NITRATE SALT	650
AMMONIA THEROMCLINE STORAGE	AMMONIA	AMMONIA	750

يعطي أيضا المرجع السابق منحنى تغير درجة حرارة مخرج الحقل الشمسي مع الزمن، كما في الشكل (2).



الشكل (2) منحنى تغير درجة حرارة مخرج الحقل الشمسي مع الزمن.

يبين المحور الشاقولي في الشكل (2) درجة حرارة خروج سائل التشغيل من المحطة الشمسية المساعدة بالدرجة سليزيوس، ويبين المحور الأفقي الزمن بالساعة. نلاحظ من الشكل أن:

- النقاط الموجودة على المخطط هي القيم المحسوبة حساباً حسب الدراسة، كما هو واضح في الجدول (3) أما المنحنى فهو منحنى الارتداد Regression Line الذي يعمل على إعطاء الموديل الرياضي للنقاط المحسوبة، فمثلاً معادلة منحنى درجة سائل وسيط النقل الحراري في فصل الصيف بدلاً من الإشعاع الشمسي خلال الساعات من 5 صباحاً إلى 19 مساءً هي معادلة من الدرجة الثانية، وتعطى بالشكل:

$$T_{f,o} = -8.9364 * time^2 + 213.12 * time - 849.68$$

أما الرواسب Residuals فهي  $(R^2 = 0.9752)$  فيمكن الإفاده من هذا المنحنى

(1) حجم الخزان الحراري الكامن المناسب لتخزين الطاقة الناتجة عن المحطة الحرارية الشمسية المصمم سابقاً باستخدام برنامج ANSYS-16.5.

(2) تحديد زمن التحول الطوري للمادة الموجودة في الخزان.

(3) اختيار المواد المكونة لخزان الحراري المكون من عدد من المواد على شكل طبقات مختلفة.

## 2- اختيار المواد المتحولة الطور.

بناءً على الدراسة التي أجريت في جامعة دمشق لتحديد كمية الطاقة الحرارية التي يمكن استخراجها من للواقط الشمسية القطعية نوع LS-3 الأمريكية على مساحة وقدرها 10 هكتارات لمحطة دير علي في الكسوة - دمشق، سوريا، تبين أن الاستطاعة الحرارية التي يمكن الحصول عليها من هذه المحطة المساعدة هي حسب الجدول (3) كما يأتي:

الجدول (3) الإستطاعة الحرارية التي يمكن الحصول عليها لبعض أشهر السنة.

الأشهر	درجة حرارة (T°C)	الاستطاعة (MW)	عند الساعة
			Hour
أذار	266.81	10.934	11:50
حزيران	402.1	19.805	11:50
أيلول	386.57	18.785	11:50
كانون الأول	235.95	8.911	11:50

نلاحظ من الجدول أن الطاقة الأعظمية قد تصل إلى 20 ميجاواط حراري في حزيران (صيفاً)، و 9 ميجاواط حراري في كانون الأول (شتاءً). هذه الطاقة الناتجة عن المحطة الشمسية المساعدة يجب:

(1) استخدامها فور خروجها من المحطة، ومن ثم مساعدة المحطة المشتركة Combined Cycle

- (2) القائمة في دير علي،
- (3) أو تخزينها لاستخدامها لاحقاً.

مراجعة المواد المتغيرة الطور في المرجع [5]،  
يبين الجدول (4) المواد غير العضوية Inorganic PCM المناسبة لدرجات الحرارة العظمى والصغرى المقترنة سابقاً، والموافقة للموصفات الفيزيائية والحرارية المناسبة للتبييق. هناك مجموعة أخرى من المواد المتغيرة الطور، ولكن بعض مواصفاتها الفيزيائية والحرارية غير معروفة.

#### الجدول (4) المواد المتغيرة الطور المناسبة للتبييق السابق.

الحرارة الكامنة (kJ/kg)	درجة حرارة الانصهار (°C)	المادة
172	307	$NaNO_3$
266	333	$KNO_3$
328	435	(38.5% $MgCl$ ) (61.5% $NaCl$ )
125	200	(60% $NaNO_3$ ) (40% $KNO_3$ )
168	117	( $MgCl_2 \cdot 6H_2O$ )

### 3 - بارمترات المحاكاة الحاسوبية للخزان المقترن.

من أجل حساب أبعاد الخزان الحراري المناسب للقيم الواردة في الدراسة المبنية في المرجع [4] التي تبلغ بحدود (20 MW)، قمنا باعتبار أن الخزان الحراري الكامن يتتألف من طبقة واحدة فقط من أجل تحديد الحجم الابتدائي للخزان الذي يعمل فقط على ست ساعات، كما في الشكل (3). الجدول (5) يبين أبعاد الخزان الطوري باستعمال المعادلات الأساسية الآتية:

$$Q = 20000 * 6 = 432 * 10^6 \text{ kJ}$$

$$Q = m * h \quad (\text{kJ})$$

$$m = \frac{Q}{h} \quad (\text{kg})$$

$$V = \frac{Q}{\rho * h} \quad (\text{m}^3)$$

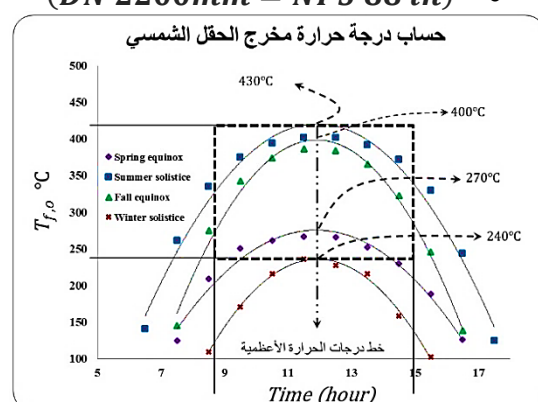
في تحديد القيم البينية لدرجة حرارة وسيط التشغيل الناقل للحرارة لكل مدقمة معينة.

- لكي يتم اختيار (1) أبعاد الخزان الحراري الكامن، و(2) زمن التحول الطوري، و(3) المادة أو المواد المتغيرة الطور، اخترنا أعظم درجة حرارة وأصغرها عاملة لسيط التشغيل الناقل للحرارة والأزمنة المرافقة لها.

يبين الشكل (3) المنطة المختارة في بحثنا هذا اذ ان درجة الحرارة الأعظمية هي (430 °C)، والأصغرية (240 °C) أمّا الزمن المواافق لهذه الدرجات فهو من الساعة التاسعة صباحاً وحتى الثالثة ظهراً، أي ست ساعات عمل للخزان الحراري الكامن.

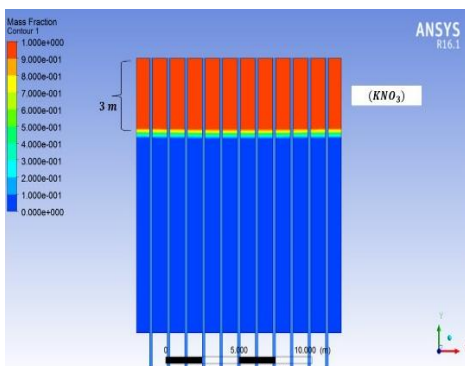
تدفق وسيط النقل الحراري المعتمد في الدراسة [4] (السيليكون الحراري) هو (4.74 kg/sec) لخط واحد من الواقع الشمسي المسؤول على التسلسل ومن ثم التتفق الكلي لسبعة خطوط هو (33.18 kg/sec) وهو التتفق الذي سيدخل الخزان الحرارية الكامن. يجب أن تكون الأنابيب المستخدمة في نقل وسيط الحراري من الفولاذ المغلف بطبقة من الكروم للحيلولة دون نفاعتها مع المواد المتغيرة الطور المستخدمة. بحسب مواصفات American Society of Mechanical standards ذات المعايير Engineers (ASME) B36.10M and B36.19M نجد أن قطرات الأنابيب تراوح بين:

- (DN 6mm = NPS 1/8 in)
- (DN 2200mm = NPS 88 in)



الشكل (3) زمن التخزين وحدود درجات الحرارة.

3. درجة حرارة دخول وسيط التشغيل **(400°C)** وخروجه **(100°C)** بحسب الدراسة.
  4. الخزان أسطواني الشكل بأبعاد بقطر 14 متراً وإرتفاع 15 متراً.
  5. زمن التشغيل ست ساعات لتخزين الطاقة الحرارية **(MW)**.
  6. اختير قطر الأنابيب الناقل للحرارة **(200mm)** لأن الدراسة العددية بينت أن قطر الأنابيب لا علاقة له بسماكه الطبقة المنصهرة حول الأنابيب.
- تبين من الدراسة العددية أن الخزان يتكون من أربع طبقات مختلفة من المواد المتغيرة الطور وهي:
- **الطبقة الأولى** هي من مادة نترات البوتاسيوم **(KNO<sub>3</sub>)** بسماكه 3 أمتار تذوب ذوباناً كاملاً خلال المدة الزمنية المفروضة، وبدرجة حرارة دخول **(400°C)** ودرجة حرارة خروج **(350°C)**، كما في الشكل (4-a).



الشكل (4-a) ذوبان طبقة نترات البوتاسيوم بالكامل.

- **الطبقة الثانية** هي من مادة نترات الصوديوم **(NaNO<sub>3</sub>)** بسماكه 2 مترتين تذوب ذوباناً كاملاً خلال المدة الزمنية المفروضة وبدرجة حرارة دخول **(350°C)** ودرجة حرارة خروج **(220°C)**، كما في الشكل (4-b).

كمية الحرارة من المحطة	$Q (kJ)$
كتلة المادة المتغيرة الطور	$m (kg)$
انتالبي المادة المتغيرة الطور	$h (kJ/kg)$
كثافة المادة المتغيرة الطور	$\rho (kg/m^3)$
حجم الخزان الطوري	$V (m^3)$

الجدول (5) حجم الخزان الحراري الكامن لمادة واحدة.

المادة	الكثافة ( $kg/m^3$ )	الحرارة الكامنة ( $kJ/kg$ )	الحجم الطافي ( $m^3$ )
$KNO_3$	2110	266	770
$NaNO_3$	2260	172	1111
$(60\% NaNO_3)$ $(40\% KNO_3)$	1899	125	1800
$(38.5\% MgCl)$ $(61.5\% NaCl)$	435	328	3100

نلاحظ من الجدول (5) أننا يمكن اختيار خزان إسطواني بنصف قطر بمقدار 7 أمتار (قطر 14 متراً) وإرتفاع 15 متراً، أي بحجم **2300 m<sup>3</sup>** يفي بالغرض كون أغلب الخزانات المستخدمة في نظام التخزين المحسوس بخزانين تراوح أبعادها بين 10 إلى 20 متراً بالقطر و10 إلى 20 متراً بالارتفاع [2]، وهذا يتاسب مع القيم الموجودة في الجدول (2).

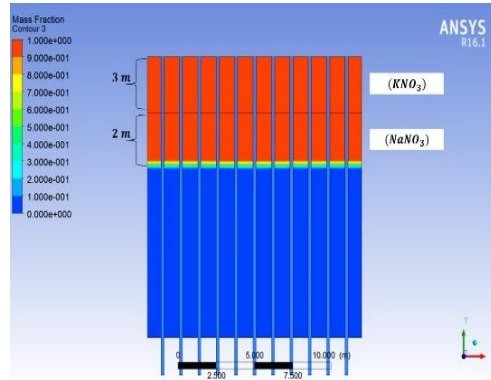
#### 4- النتائج والمناقشة للمحاكاة العددية.

باستخدام برنامج ANSYS 16.5 أجريت محاكاة الخزان بعدد من العقد (Nodes) 11679 عقدة، و 10242 عنصراً هرمياً وبعدد من التكرارات 1000 مرّة للوصول إلى الخطأ المطلوب، فتبين أن الخزان ينصهر بالكامل بعد 6 ساعات عمل، وذلك بفرض أن الحرارة على سطح الأنابيب ثابتة عندأخذ الفرضيات الآتية:

1. لا توجد سماكة لقطر الأنابيب الناقل للحرارة ضمن الخزان.
2. تدفق وسيط التشغيل ثابتة ضمن الأنابيب الناقل للحرارة ضمن الخزان.

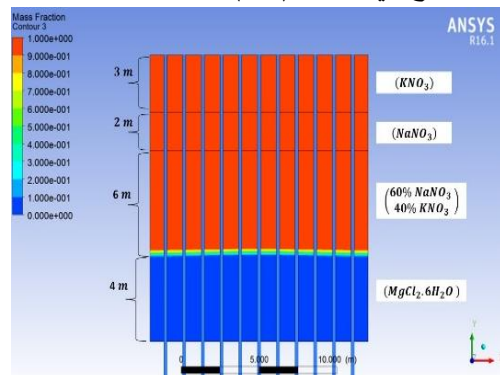
## 5- الاستنتاجات والتوصيات.

- تبين من الدراسة العددية أن الطاقة الحرارية التي يولدها الحقل الشمسي يمكن أن تخزن بخزان اسطواني:
1. بقطر 14 متراً وارتفاع 15 متراً تتناسب أبعاده مع الدراسات العالمية الموجودة.
  2. تبين من الدراسة العددية، وبالاعتماد على حجم ثابت للخزان المبين في البند 1، أن الخزان ينقسم إلى أربع طبقات مختلفة من المواد المتغيرة الطور غير العضوية للحصول على ذوبان كامل للمادة، وتحقيق شروط دخول سائل التشغيل العامل في الحقل وخروجه.
  3. حددت سماكات المواد المتغيرة الطور باختلاف درجة حرارة خروج سائل التشغيل (السيليكون الحراري) من الطبقة، بما يتتناسب مع درجة حرارة التحول الطوري للطبقة التالية.
  4. ساعات العمل هي فقط 6 ساعات للحصول على ذوبان كامل.
  5. الاستطاعة الحرارية الأعظمية لخزان هي 20 ميجاواط حراري.



الشكل (4-b) ذوبان طبقة نترات الصوديوم بالكامل.

- الطبقة الثالثة هي من مادة نترات الصوديوم ونترات البوتاسيوم والذي يسمى الملح الشمسي (60%  $NaNO_3$  and 40%  $KNO_3$ ) بسماكة 6 أمتر تذوب ذوباناً كاملاً خلال المدة الزمنية المفروضة، ودرجة حرارة دخول (220°C) ودرجة حرارة خروج (130°C)، كما هو واضح في الشكل (4-c).



الشكل (4-c) ذوبان طبقة نترات الصوديوم ونترات البوتاسيوم بالكامل.

- الطبقة الرابعة هي من مادة ماءات كلور المغنيزيوم ( $MgCl_2 \cdot 6H_2O$ ) بسماكة 4 متراً تذوب ذوباناً كاملاً خلال المدة الزمنية المفروضة، ودرجة حرارة دخول (130°C)، ودرجة حرارة خروج (100°C).

## REFERENCES المراجع

- [1] Vaivudh, S., Rakwichian, W., Chindaruksa, S. and Sriprang, N., 2006, "Heat Transfer of Charging and Discharging Experiment of High Thermal Energy Storage System by Thermal Oil as Heat Transfer Fluid." International Journal of Renewable Energy, 1, 17-21.
- [2] Kelly, B., 2006, "Two Tank Direct Thermal Storage System, Solar Two and Solar Tres Central Receiver Power Plants." Nexant, Inc, San Francisco, California.
- [3] Michels, H. and Pitz-Paal, R., 2007, "Cascaded Latent Heat Storage for Parabolic Trough Solar Power Plants." Solar Energy, 81, PP. 829-837.
- [4] Hamadi, B., Tohma, S., and Mahmoud, I., 2015, "Implementation of Parabolic Trough Solar Concentrator to Support Deir Ali Thermal Power Plant and its Economic Efficiency." M.S. Thesis, Damascus University, Syria.
- [5] Zalba, B., Marin, J., M., Cabeza, L. F., and Mehling, H., 2003, "Review on thermal energy storage with phase change: materials, heat transfer analysis and applications," Applied Thermal Engineering, 23, PP. 251–283.

Received	2016/07/10	إيداع البحث
Accepted for Publ.	2017/05/11	قبول البحث للنشر